

**Ф. В. Водолазский<sup>1</sup>, С. М. Илларионова<sup>1</sup>, Н. А. Баранникова<sup>1</sup>,  
Е. А. Горностаева<sup>2</sup>, Я. И. Космацкий<sup>2</sup>, А. Г. Илларионов<sup>1\*</sup>**

<sup>1</sup> Уральский федеральный университет  
имени первого Президента России Б. Н. Ельцина, г. Екатеринбург

<sup>2</sup> ОАО Российский научно-исследовательский институт  
трубной промышленности, г. Челябинск

\*illarionovag@mail.ru

## **ВЗАИМОСВЯЗЬ СТРУКТУРЫ И СВОЙСТВ ПО СЕЧЕНИЮ КРУПНОГАБАРИТНОЙ ЗАГОТОВКИ ИЗ ТИТАНОВОГО СПЛАВА ПТ-7М**

В работе методами макро-, микро-, рентгеноструктурного анализов, дюрометрии и испытаний на горячую осадку при 875 °С изучено изменение структуры, твердости и горячей прочности по сечению горячекованной заготовки из титанового сплава ПТ-7М. Установлено, что для макро-, микроструктуры по сечению исследованной заготовки из сплава ПТ-7М характерно уменьшение доли крупных макрозерен и рекристаллизованных зерен от центра к поверхности полуфабриката. Это способствует росту твердости, истинных напряжений при испытаниях на сжатие при 875 °С по мере удаления от центра заготовки.

*Ключевые слова:* титановый сплав ПТ-7М, горячая деформация, микроструктура, фазовый состав, текстура, твердость.

**F. V. Vodolazskiy, S. M. Illarionova, N. A. Barannikova,  
E. A. Gornostaeva, Ya. I. Kosmatskiy, A. G. Illarionov**

## **RELATION BETWEEN STRUCTURE AND PROPERTIES FOR A SECTION OF LARGE-SIZE BILLET FROM TITANIUM ALLOY PT-7M**

In the work of making macro-, micro-, X-ray structural analyzes, durometry and hot upsetting operation at 875 °C, changes in the structure, hardness and hot strength over the cross section of a hot-baked titanium alloy PT-7M were studied. It was established that the macrostructure of the microstructure over the cross section of the investigated billet of alloy PT-7M is characterized by a decrease in the proportion of large macrogranes and recrystallized grains from the center to the surface of the semi-finished product. This contributes to the

growth of hardness, the real stresses during compression test at 875 °C with increasing distance from the center of the billet.

*Key words:* titanium alloy PT-7M, hot deformation, phase composition, microstructure, texture, hardness.

**П**Т-7М с системой легирования Ti–2,2Al–2,5Zr (мас. %) относится к деформируемым  $\alpha$ -сплавам [1], имеющим при нормальных условиях в структуре 100 %  $\alpha$ -фазы — низкотемпературной модификации титана с ГПУ-решеткой. За счет легирования  $\alpha$ -стабилизатором алюминием и нейтральным упрочнителем цирконием сплав ПТ-7М, по сравнению с чистым титаном, характеризуется более высокими литейными свойствами, прочностью, жаропрочностью, термической стабильностью, отсутствием склонности к хладноломкости [1, 2]. Он имеет высокую коррозионную стойкость в морской и пресной воде, хорошо деформируется в горячем и холодном состояниях, сваривается всеми видами сварки, преимущественно используется для изготовления труб для трубопроводов, работающих при комнатной и повышенных (до 400–450 °C) температурах в агрессивных средах [2–4].

При получении труб из сплавов титана, включая ПТ-7М, в качестве исходного полуфабриката берут крупногабаритные горячекованные заготовки диаметром более 150 мм, которые, как показывают исследования других сплавов титана [5], могут иметь неоднородность структуры и, соответственно, свойств по сечению вследствие как нестационарных условий проведения деформации, так и сложного строения исходной литой заготовки. Наличие такого рода неоднородности может сказаться при распределении усилий по сечению заготовки в ходе горячей деформации при получении трубного полуфабриката. Исследований сплава ПТ-7М в этом направлении найти не удалось. Исходя из этого в работе изучено изменение структуры и свойств по сечению крупногабаритной заготовки из титанового сплава ПТ-7М, предназначенной для получения трубной заготовки.

Материалом исследования служила промышленная  $\varnothing$ 188 мм горячекованная заготовка, удовлетворяющая ТУ 1-5-132-78 [6], из сплава ПТ-7М, имеющего химический состав (в мас. %) — Ti–2,2Al–2,7Zr, соответствующий требованиям ГОСТ 19807–91 [7], и температуру полиморфного  $\alpha + \beta \rightarrow \beta$ -превращения ( $T_m$ ) 945 °C. В качестве методов исследования в работе использовали макро-, микроструктурный, дюрOMETРИЧЕСКИЙ анализы, а также испытания на горячую осадку.

## Результаты исследования

Макроструктура темплетов, вырезанных по радиусу горячекованных заготовок, из сплава ПТ-7М в поперечном и продольном сечении представлена на рис. 1. В соответствии со шкалой макроструктур титановых сплавов, приведенной в [8], в поперечном сечении макрозерно преимущественно имеет 3–4-й балл, то есть менее 1 мм с отдельными областями, количество которых больше к центру, и балл макроструктур которых может достигать 7–8, то есть до 4–5 мм (рис. 1, *а*). В продольном сечении (рис. 1, *б*) по шкале для оценки степени неравноосности зерен в макроструктуре [5] макрозерно характеризуется 1–2-м баллом, при котором отношение (размер макрозерна вдоль оси заготовки)/(размер макрозерна поперек оси заготовки) составляет порядка 2-х. Исходя из анализа макроструктуры видно, что по сечению горячекованой заготовки наблюдается определенная неоднородность, связанная с наличием макрозерен разного размера и неравноосности, при этом более крупные макрозерна встречаются ближе к центру заготовки и в меньшей степени у ее поверхности. Последнее, очевидно, связано с подстуживанием поверхности в ходе деформации, характерным для сплавов титана [5].

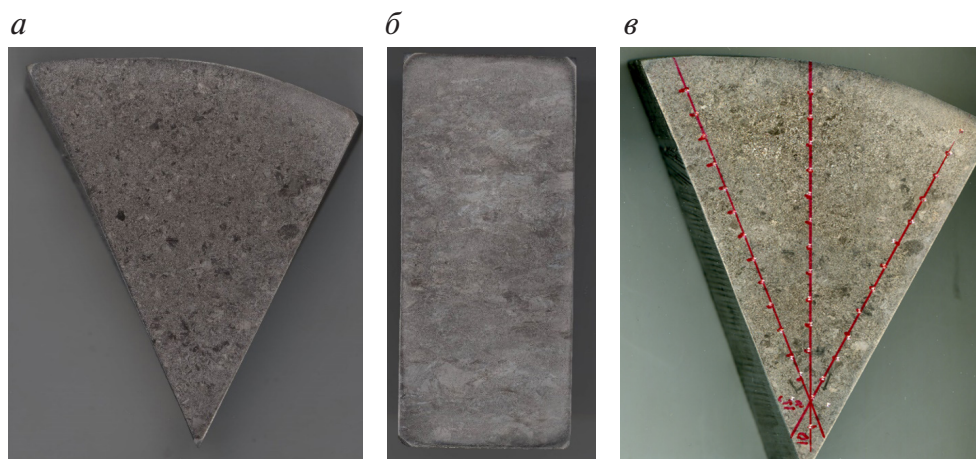


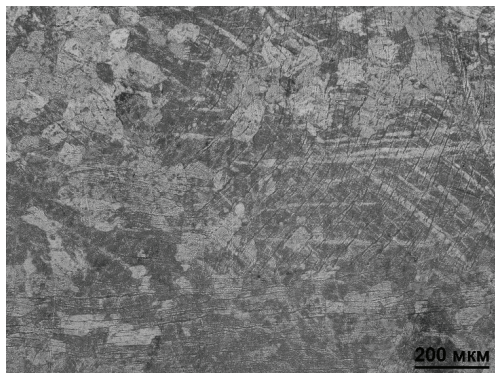
Рис. 1. Макроструктура темплетов из сплавов ПТ-7М в поперечном (*а*) и продольном (*б*) сечении и разметка с уколами твердости по Виккерсу (*в*) (без увеличения)

Микроструктура сплава ПТ-7М из различных зон (центр, 1/2 радиуса, внешняя поверхность) с продольного и поперечного сечения темплетов представлена на рис. 2. Анализ микроструктуры как в продольном, так и поперечном сечениях заготовки (рис. 2) показал, что она изменяется по мере перемещения от центра к поверхности заготовки: увеличивается количество относительно мелких равноосных рекри-

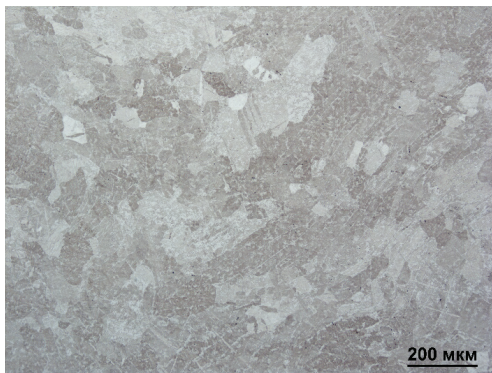


сталлизованных зерен размером до 100 мкм и уменьшается объемная доля крупных деформированных зерен, которые в продольном сечении преимущественно имеют некоторую вытянутость вдоль оси заготовки (рис. 2, *а, в, д*), что отмечалось и при анализе макроструктуры (рис. 1, *б*).

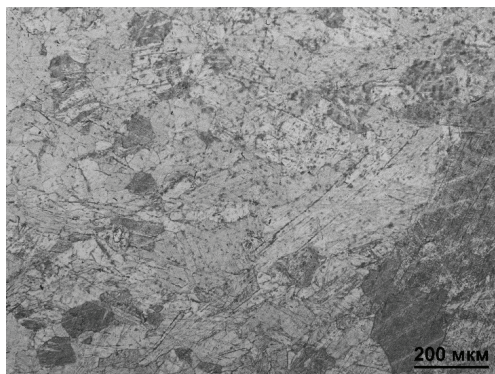
*а*



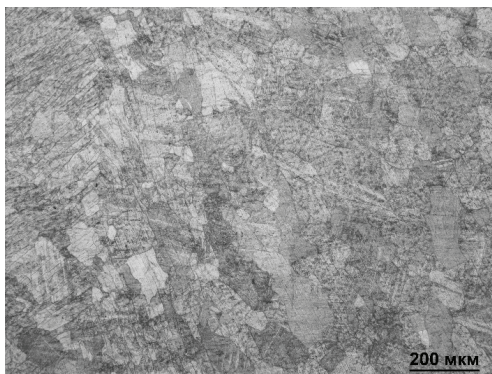
*б*



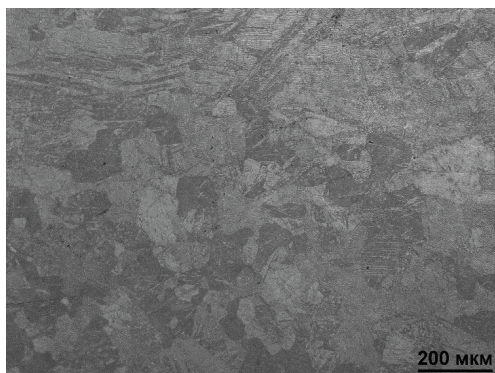
*в*



*г*



*д*



*е*

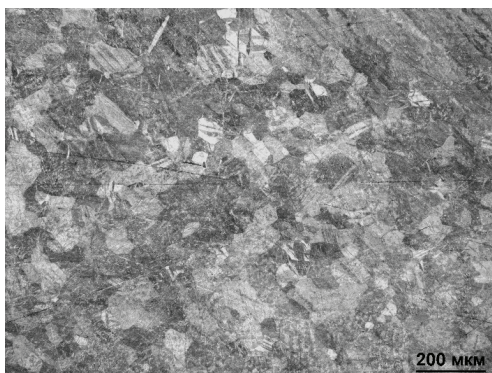


Рис. 2. Микроструктура сплава ПТ-7М в продольном (*а, в, д*) и поперечном (*б, г, е*) сечении из разных областей заготовки:

*а, б* — вблизи центра; *в, г* — на 1/2 радиуса; *д, е* — вблизи поверхности

Внутризеренная структура хорошо проявляется в крупных зернах (рис. 2) и представляет собой пакеты частично изогнутых  $\alpha$ -пластин. Такого рода структура обычно формируется, когда окончаниековки проходит ниже температуры полиморфного  $\alpha + \beta \rightarrow \beta$ -превращения ( $T_{\text{пп}}$ ) сплава ПТ-7М. Так как в нашем случае в образовавшихся в ходековки ниже  $T_{\text{пп}}$   $\alpha$ -пластинах практически не фиксируется их дробление, то можно утверждать, что степень деформации и переохлаждение ниже  $T_{\text{пп}}$  при ковке были незначительными.

Для оценки наличия преимущественных ориентировок в  $\alpha$ -фазе в разных сечениях и областях деформированной заготовки проведена съемка дифрактограмм на приборе Bruker D8 Advance с областей вблизи центра, на  $1/2$  радиуса и у поверхности (рис. 3).

На дифрактограммах присутствуют только линии  $\alpha$ -твердого раствора, что естественно для  $\alpha$ -сплавов, которые не содержат в качестве легирующих элементов  $\beta$ -стабилизаторов. Средние параметры решетки  $\alpha$ -фазы, определенные после съемки в разных сечениях заготовки, составляют  $a = 0,29466$  нм,  $c = 0,46868$  нм,  $c/a = 1,5905$ . Полученные значения параметра « $c/a$ »  $\alpha$ -фазы выше, чем у чистого титана (1,5873), что характерно для сплавов, легированных алюминием [9], к которым относится ПТ-7М. Следует отметить, что на дифрактограммах образцов вдоль заготовки линия 002 имеет, близкое к максимальной интенсивности (рис. 3). В поперечном направлении базисная компонента 002 практически отсутствует, при этом усилена линия (100). Данный факт свидетельствует о наличии преимущественных ориентировок в  $\alpha$ -фазе, а именно текстурной компоненты продольной призмы  $\{0001\} \langle 1-100 \rangle$ , когда нормаль к плоскости базиса располагается перпендикулярно оси заготовки, что характерно для процессов деформации с участием  $\alpha$ -фазы [10].

Измерение твердости по Виккерсу при нагрузке 100 кг проводили на универсальном твердомере Zwick/Roell ZHU type 6187–5 LKV при нагрузке 100 кг (980,7 Н) вдоль трех радиусов через 5 мм (схема измерений представлена на рис. 1, в). В целом значения твердости по сечению заготовки изменяется от 190 до 225 НВ, при этом среднее и медианное значение близки и составляют 207 НВ. Использование линейной аппроксимации средних значений по трем измерениям (рис. 4) показало тенденцию к росту значений твердости от центра темплета к его поверхности, очевидно, из-за уменьшения доли рекристаллизованных и увеличения деформированных зерен в структуре (рис. 2). Известно [11], что при рекристаллизованном состоянии значительно уменьшается плотность дислокаций по сравнению с деформированным состоянием, способствуя снижению прочностных свойств, включая твердость.

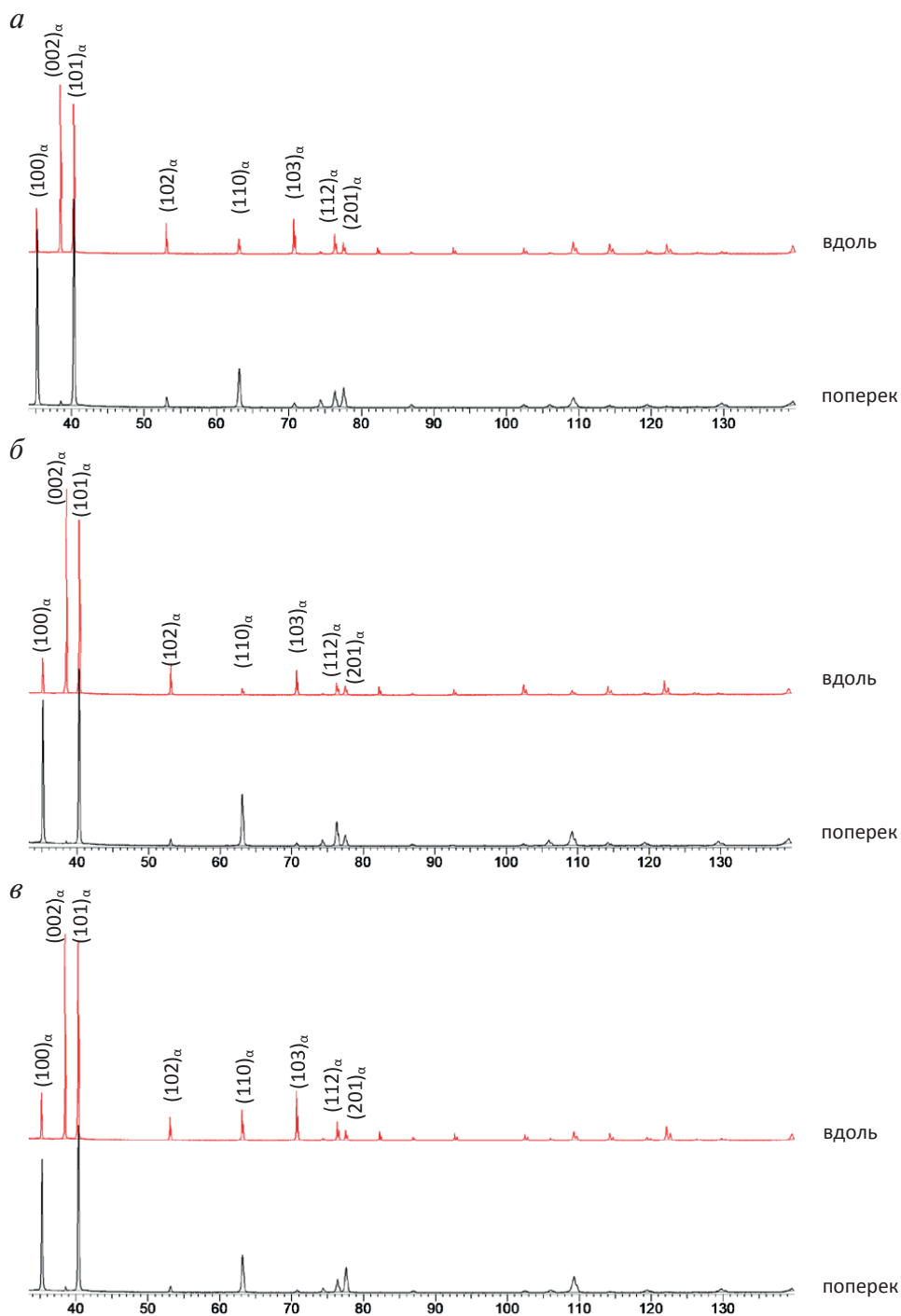


Рис. 3. Диффрактограммы с продольного и поперечного сечении из разных областей заготовки:

*a* — вблизи центра; *b* — на  $1/2$  радиуса; *v* — вблизи поверхности

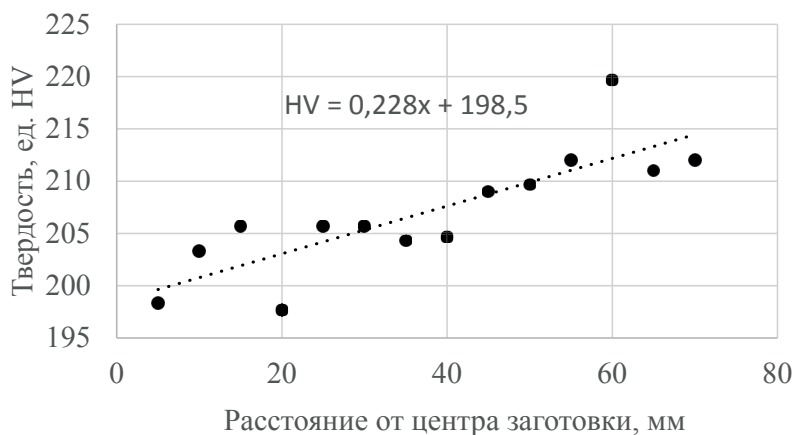


Рис. 4. Изменение средней твердости (по 3-м значениям) от центра к поверхности горячекованой заготовки из сплава ПТ-7М

Для оценки при повышенных температурах однородности прочностных свойств по сечению горячекованой заготовки проведены испытания на сжатие продольных и поперечных цилиндрических образцов диаметром 10 мм и высотой 15 мм, отобранных от центра, середины и периферии заготовки, при нагреве до температуры 875 °С и при скорости деформации 12 с<sup>-1</sup> на многофункциональном исследовательском комплексе «Gleeble 3800» с применением программы Origin.pro 8.5.1 для обработки результатов эксперимента. Температура деформации 875 °С выбиралась ближе к нижней границе рекомендуемого температурного диапазона (840–940 °С) горячего прессования труб из псевдо- $\alpha$ -сплава титана ОТ4–1 [5], имеющего близкие с ПТ-7М содержание алюминия (около 2 %), и  $T_{\text{пп}}$  (910–950 °С). Результаты испытаний приведены на рис. 5.

Анализ полученных на рис. 5 зависимостей, их сопоставление с данными структурных и измерения твердости (рис. 1–4) позволили заключить следующее.

Во-первых, наименьшие пиковые (максимальные) истинные напряжения при сжатии как в продольном, так и поперечном направлении характерны для образцов, вырезанных из центра заготовки, по-видимому из-за наибольшей доли крупных макрозерен (рис. 1) и рекристаллизованных  $\alpha$ -зерен (рис. 2), и, соответственно, наименьшей твердости (рис. 4).

Во-вторых, истинные напряжения при аналогичной истинной деформации образцов из сплава ПТ-7 М в поперечном направлении выше, чем в продольном, примерно на 25–35 МПа (рис. 5). Это связано, исхо-

для из данных РСФА (рис. 3), с более благоприятной к нагружению ориентацией кристаллитов в продольном направлении при сжатии по сравнению с ориентацией кристаллитов в поперечном направлении.

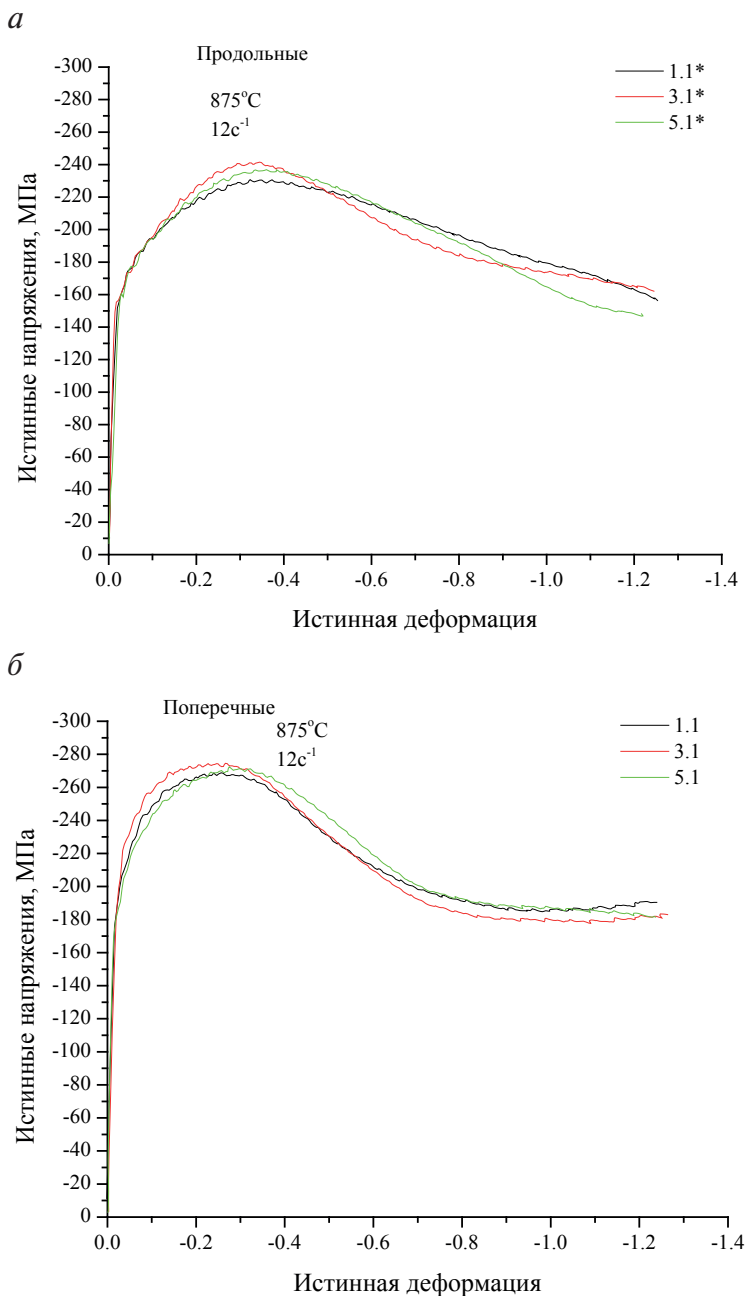


Рис. 5. Кривые течения металла образцов отобранных от центра (1.1\*, 1.1), 1/2 радиуса (3.1\*, 3.1) и у поверхности (5.1\*, 5.1) заготовки из сплава ПТ-7М:

*a* — продольные, *б* — поперечные



В-третьих, деформационные кривые при сжатии имеют подобный характер с наличием пологого максимума при истинной деформации между 0,2–0,4 с последующей нисходящей ветвью (рис. 5). Такой характер деформационной кривой наблюдали ранее в работах [5, 12, 13], и он связан с протеканием в ходе осадки двух конкурирующих процессов: 1) упрочнения за счет генерирования в ходе деформации линейных дефектов кристаллического строения — дислокаций; 2) разупрочнения за счет протекания в деформированном сплаве процессов возврата и рекристаллизации, способствующих аннигиляции дефектов кристаллического строения. При относительно малых истинных деформациях (до 0,3) деформационное упрочнение превалирует, а при более высоких степенях большую роль начинают играть процессы разупрочнения, в первую очередь — рекристаллизации. О возможности развития процессов рекристаллизации в данном сплаве при температуре испытания 875 °С опосредованно свидетельствуют литературные данные [14]. В данной работе температура конца рекристаллизации равна 840 °С для сплава ОТ4–1С, который имеет близкое к ПТ-7М содержание Al и  $T_{\text{мн}}$ . В этом случае можно так же отметить, что величина разупрочнения (разница между максимальным значением напряжения на пике и минимальным значением напряжения после пика) больше у образцов, вырезанных с поверхности, по сравнению с образцами из центральной части. Причиной этого, по-нашему мнению, является меньшая доля рекристаллизованных зерен до испытаний в центре заготовки по сравнению с поверхностью (рис. 2). В результате этого дополнительная горячая деформация при осадке более активно стимулирует развитие рекристаллизационных процессов в образцах с поверхности заготовки, что и способствует большему разупрочнению.

Таким образом установлено, что макро-, микроструктура по сечению исследованной крупногабаритной заготовки из сплава ПТ-7М характеризуется уменьшением доли крупных макрозерен и рекристаллизованных зерен от центра к поверхности полуфабриката, способствуя росту твердости и истинных напряжений при горячих испытаниях на сжатие при 875 °С.

*Исследование выполнено за счет гранта Российского научного фонда (проект № 18-79-10107).*

#### ЛИТЕРАТУРА

- 1 Титановые сплавы для морской техники / И. В. Горынин [и др.]. СПб : Политехника, 2007. 387 с.

- 2 Ильин А. А., Колачев Б. А., Польшкин И. С. Титановые сплавы. Состав, структура, свойства: справочник. М. : ВИЛС–МАТИ, 2009. 520 с.
- 3 Моисеев В. Г. Титан в России // МиТОМ. 2005. № 8.
- 4 Ушков С. С., Кудрявцев А. С., Карасев Э. А. Титановые сплавы в судостроении и морских сооружениях // Титан. 2002. № 1. С. 44–49.
- 5 Полуфабрикаты из титановых сплавов / В. К. Александров [и др.]. М. : ОНТИ ВИЛС, 1996, 584 с.
- 6 ТУ 1-5-132-78. Заготовки трубные из титановых сплавов. Технические условия. 19 с.
- 7 ГОСТ 19807–91. Титан и сплавы титановые деформируемые. М. : Изд-во стандартов, 1992. 32 с.
- 8 Глазунов С. Г., Колачев Б. А. Титановые сплавы. Металлография титановых сплавов. М. : Металлургия, 1980. 464 с.
- 9 Цвиккер У. Титан и его сплавы. М. : Мир, 1979. 512 с.
- 10 Текстура катаных прутков сплава ВТЗ-1 / Р. А. Адамеску [и др.] // Технология легких сплавов. 1978. № 10. С. 28–31.
- 11 Литвинов В. С., Гриб С. В. Рекристаллизация металлов и сплавов : учеб. пособие. Екатеринбург : Изд-во Уральского университета. 2013. 86 с.
- 12 Experimental determination of temperature parameters for evaluating the possibility of manufacturing alloy Ti–3Al–2.5V hot-extruded tubes / Illarionov A. G. [and others] // Metallurgist. 2017. Т. 60. № 9–10. С. 983–988.
- 13 Исследование деформационной способности трубной заготовки из титанового сплава марки ПТ-1М / Я. И. Космацкий [и др.] // Вестник Южно-Уральского государственного университета. Серия: Металлургия. 2017. Т. 17. № 4. С. 83–91.
- 14 Глазунов С. Г., Моисеев В. Н. Конструкционные титановые сплавы. М. : Металлургия, 1974. 368 с.